

补充材料

高效稳定的 $\text{CsPbBr}_3\text{-Cs}_4\text{PbBr}_6$ 混合相钙钛矿纳米晶的制备及形成过程

陈雪莲^{1)†} 焦琥珀¹⁾ 申岩冰¹⁾ 潘喜强^{2)‡}

1) (西安石油大学 材料科学与工程学院, 西安 710065)

2) (西安石油大学 化学化工学院, 西安 710065)

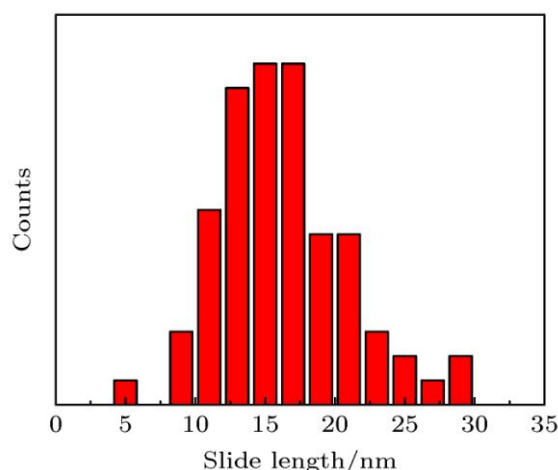


图 S1 CsPbBr_3 NCs 的晶粒尺寸统计结果

Fig. S1. Size distribution of CsPbBr_3 NCs.

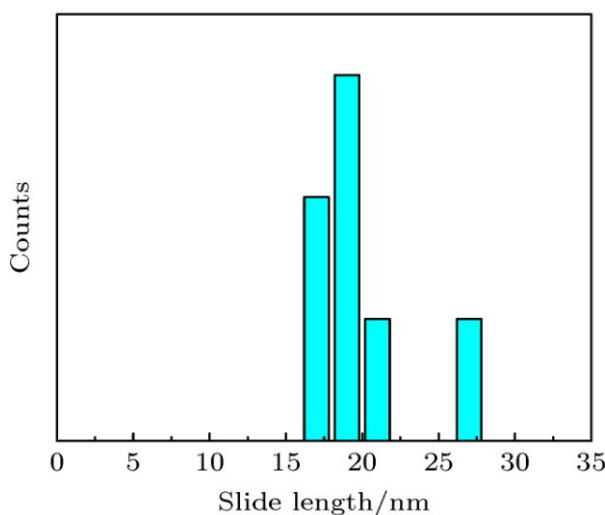


图 S2 OLA-TDPA-PNCs 的类球形纳米晶的晶粒尺寸统计结果

Fig. S2. Size distribution of sphere-like nanocrystals OLA-TDPA-PNCs.

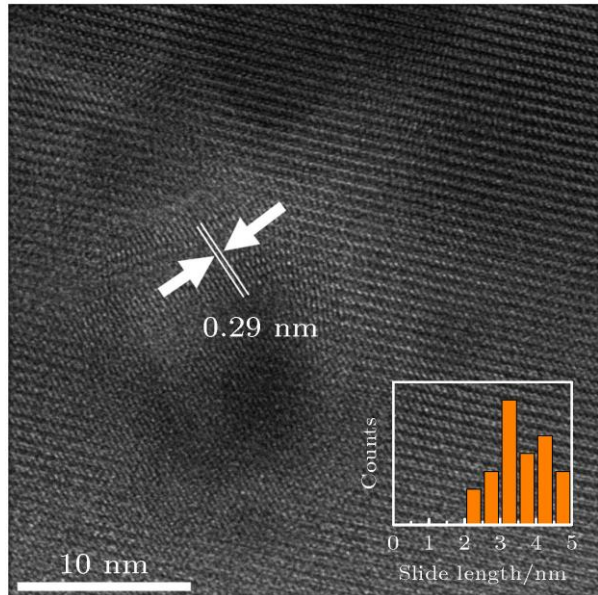


图 S3 小黑点的 HRTEM 图, 其中内插图为小黑点的尺寸分布图

Fig. S3. HRTEM images of small nanoparticles, where the insert shows size distribution of small nanoparticles.

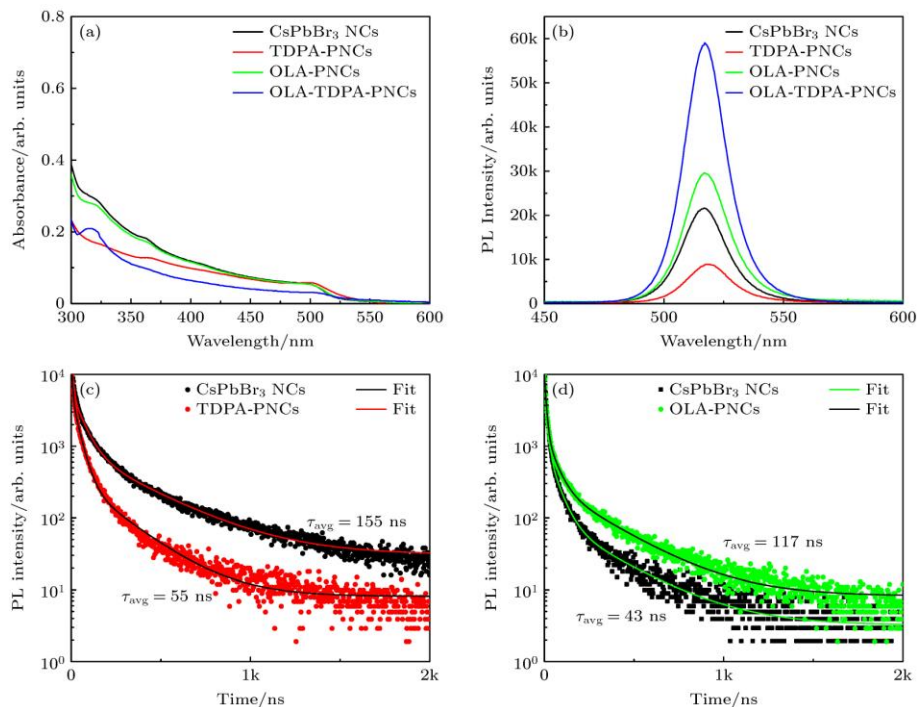
图 S4 (a). (b) CsPbBr₃ NCs, TDPA-PNCs, OLA -PNCs 和 OLA-TDPA-PNCs 的紫外光谱图(a)和荧光光谱图(b); (c) CsPbBr₃ NCs 和 TDPA-PNCs 的时间衰减曲线; (d) CsPbBr₃ NCs 和 OLA -PNCs 的时间衰减曲线

Fig. S4. (a) UV-vis absorption spectra and (b) PL spectra of CsPbBr₃ NCs, TDPA-PNCs, OLA -PNCs and OLA-TDPA-PNCs; (c) time-resolved PL decay curves of pristine CsPbBr₃ NCs in hexane and TDPA-PNCs; (d) time-resolved PL decay curves of pristine CsPbBr₃ NCs in hexane and OLA -PNCs .

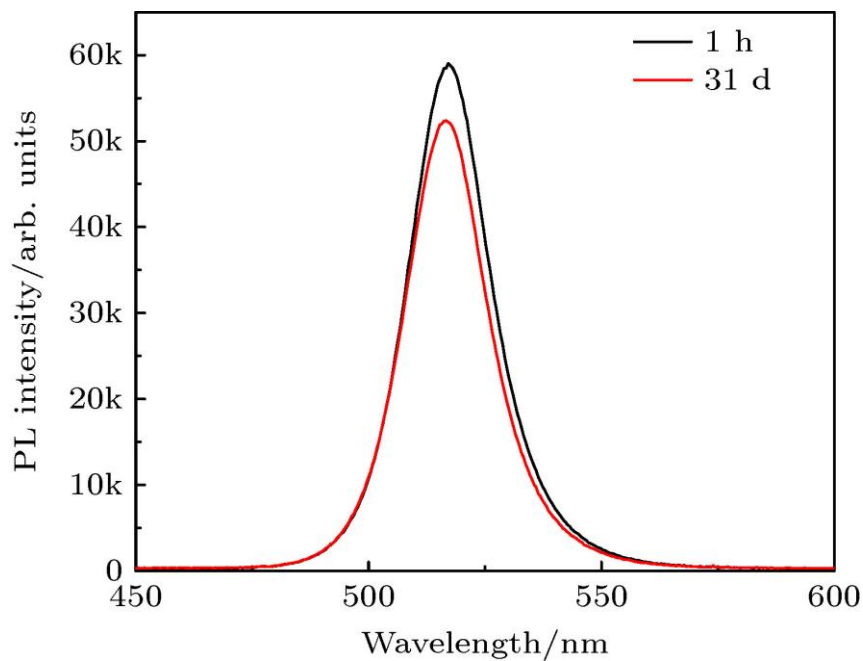


图 S5 OLA-TDPA-PNCs 随时间变化的 PL 光谱

Fig. S5. PL spectra of OLA-TDPA-PNCs over time.

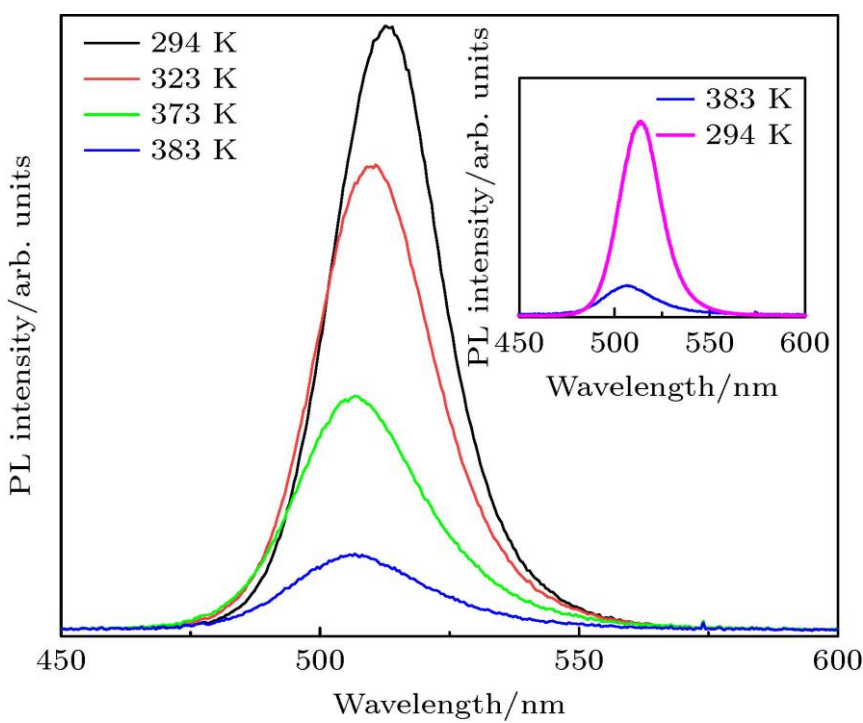


图 S6 OLA-TDPA-PNCs 随温度变化的 PL 光谱

Fig. S6. PL spectra of OLA-TDPA-PNCs over temperature.

表 S1. CsPbBr_3 NCs 和 TDPA-PNCs 的荧光寿命拟合
Table S1. Fluorescence lifetime fitting of CsPbBr_3 NCs and TDPA-PNCs.

Sample	τ_1/ns	τ_2/ns	τ_3/ns	$K_{\text{nr}} / (10^6 \text{ s}^{-1})$	$K_r / (10^6 \text{ s}^{-1})$	K_{nr} / K_r	$\tau_{\text{avg}}/\text{ns}$	PLQY/%
CsPbBr_3 NCs	6.83	42.13	277.42	5.48	0.97	5.65	155	15
TDPA-PNCs	3.96	21.56	108.75	16.55	1.63	10.1 5	55	9

表 S2. CsPbBr_3 NCs 和 OLA-PNCs 的荧光寿命拟合
Table S2. Fluorescence lifetime fitting of CsPbBr_3 NCs and OLA-PNCs.

Sample	τ_1/ns	τ_2/ns	τ_3/ns	$K_{\text{nr}} / (10^6 \text{ s}^{-1})$	$K_r / (10^6 \text{ s}^{-1})$	K_{nr} / K_r	$\tau_{\text{avg}}/\text{ns}$	PLQY/%
CsPbBr_3 NCs	10.18	51.32	288.09	10.7	4.17	5.86	67	28
OLA-PNCs	8.83	48.02	278.13	5.21	3.24	1.61	117	39